

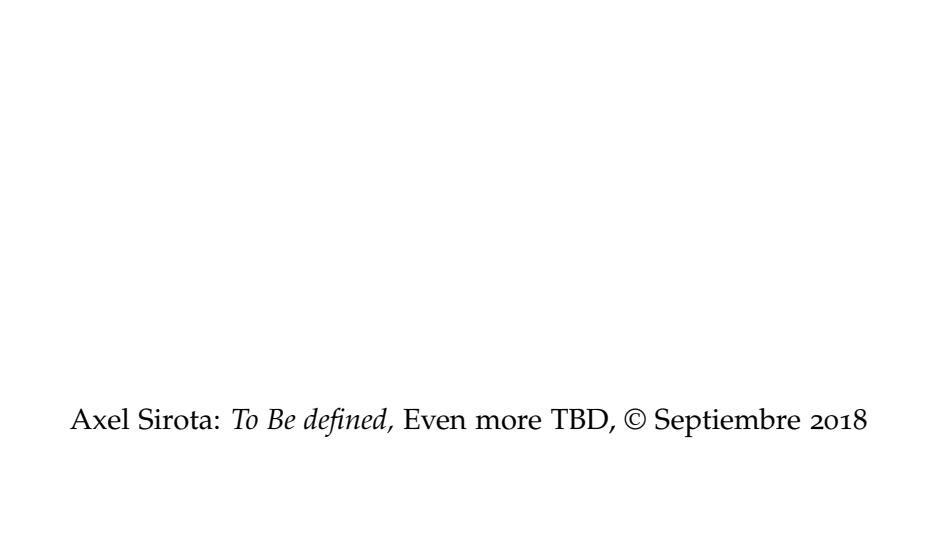
TO BE DEFINED

EVEN MORE TBD

Universidad de Buenos Aires

Facultad de Ciencias Exactas y Naturales Departamento de Matemática

Tesis de Licenciatura Director de Tesis: Dr. Pablo Amster Septiembre 2018 – version 0.1



ABSTRACT

Aca va a ir el abstract cuando lo tengamos

We have seen that computer programming is an art, because it applies accumulated knowledge to the world, because it requires skill and ingenuity, and especially because it produces objects of beauty.

— knuth:1974 [knuth:1974]

AGRADECIMIENTOS

Agradecimientos para todos

CONTENTS

| I Introducción | 1 |
|---|----|
| 1 INTUICIÓN 3 | |
| II El teorema y aplicaciones | 7 |
| 2 APLICACIÓNES 9 2.1 Gradient descent 9 | |
| III Apéndice | 11 |
| A APÉNDICE 13 | |

| LIST OF FIGURES |
|-----------------|
| |
| |
| |
| LIST OF TABLES |
| |
| |
| |
| LISTINGS |
| |
| |
| |
| ACRÓNIMOS |

Part I Introducción

1

Usemos un caso modelo para ejemplificar porque no es probable que los metodos de primer orden (entre ellos *gradient descent*) convergan a puntos silla. Sea $f: \mathbb{R}^n \to \mathbb{R}^n$ dada por $f(x) = \frac{1}{2} x^T H x$ con $H = \operatorname{diag}(\lambda_1, \ldots, \lambda_n)$; supongamos además que $\lambda_1, \ldots, \lambda_k > 0$ y $\lambda_{k+1}, \ldots, \lambda_n < 0$.

Si usamos en la base canónica de \mathbb{R}^n $\{e^1, \dots, e^n\}$ entonces:

$$f(x) = f(x^1, ..., x^n) = \frac{1}{2} (\lambda_1 x_1^2 + ... + \lambda_n x_n^2)$$

Por lo tanto:

$$\nabla f(x) = \lambda_i x_i e^i = 0 \iff x = x_1 e^1 = 0$$

Y tenemos que en el único punto crítico el Hessiano de f es $\nabla^2 f(0) = H$.

Recordemos que si $g(x) = x - \alpha \nabla f(x)$ entonces gradient descent está dado por la iteración $x_{t+1} = g(x_t) := g^t(x_0)$ con $t \in \mathbb{N}$ y $x_0 \in \mathbb{R}^n$, y en este caso esta representado por:

$$x_{t+1} = g(x_t)$$

$$= x_t - \alpha \nabla f(x_t)$$

$$= (1 - \alpha \lambda_i) x_{it} e^i$$

$$= (1 - \alpha \lambda_i) \langle x_t, e^i \rangle e^i$$

Por lo tanto por inducción es fácil probar que:

$$x_{t+1} = (1 - \alpha \lambda_i)^t \left\langle x_o, e^i \right\rangle e^i$$

Sea $L = \max_{i} |\lambda_{i}|$ y supongamos que $\alpha < \frac{1}{L}$, luego:

$$1 - \alpha \lambda_i < 1 \quad \text{Si } i \le k$$
$$1 - \alpha \lambda_i > 1 \quad \text{Si } i > k$$

Con lo que concluímos que:

$$\lim_{t} x_{t} = \begin{cases} 0 & \text{Si } x \in E_{s} := \left\langle e^{1}, \dots, e^{k} \right\rangle \\ \infty & \text{Si no} \end{cases}$$

Finalmente, si k < n entonces concluímos que:

$$P_{\mathbb{R}^n}(\left\{x \in \mathbb{R}^n / \lim_t g^t(x) = 0\right\}) = |E_s| = 0$$

Para notar este fenómeno en un ejemplo no cuadrático consideremos $f(x,y) = \frac{1}{2}x^2 + \frac{1}{4}y^4 - \frac{1}{2}y^2$, reproduciendo los calculos anteriores:

$$\nabla f = (x, y^3 - y)$$

$$g = ((1 - \alpha)x, (1 + \alpha)y - \alpha y^3)$$

$$\nabla^2 f = \begin{pmatrix} 1 & 0 \\ 0 & 3y^2 - 1 \end{pmatrix}$$
(1)

De lo que vemos que los puntos críticos son:

$$z_1 = (0,0)$$
 $z_2 = (0,1)$ $z_3 = (0,-1)$

Y del critério del Hessiano concluímos que z_2 , z_3 son mínimos locales mientras que z_1 es un punto silla. De la intuición previa, como en z_1 el autovector asociado al autovalor positivo es e^1 podemos intuir que:

Lema 1.0.0.1 Para $f(x,y)=\frac{1}{2}x^2+\frac{1}{4}y^4-\frac{1}{2}y^2$ resulta que $E_s=\left\langle t*e^1 \ / \ t\in \mathbb{R} \right\rangle:=W_s$

Asumiendo el resultado por un momento, dado que $\dim_{\mathbb{R}^2}(E_s) = 1 < 2$ entonces $P_{\mathbb{R}^2}(E_s) = 0$ que es lo que queríamos verificar. Demostremos el lema ahora:

Demostración Del lema Sea $x_0 \in \mathbb{R}^n$ y g la iteración de *gradient descent* dada por 1, luego:

$$(x_t, y_t) = g^t(x, y) = \begin{pmatrix} (1 - \alpha)^t x_0 \\ g_y^t(y_0) \end{pmatrix} \xrightarrow{(t \to \infty)} \begin{pmatrix} 0 \\ \lim_t g_y^t(y_0) \end{pmatrix}$$

Por lo que todo depende de y_0 . Analizando $\frac{dg_y}{dy} = 1 + \alpha - 3\alpha y^2$ notemos que:

$$\left| \frac{dg_y}{dy} \right| < 1 \iff \left| 1 + \alpha - 3\alpha y^2 \right| < 1$$

$$\iff -1 < 1 + \alpha - 3\alpha y^2 < 1$$

$$\iff -2 - \alpha < -3\alpha y^2 < -\alpha$$

$$\iff \sqrt{\frac{2 + \alpha}{3\alpha}} > |y| > \sqrt{\frac{1}{3}}$$

$$\iff \sqrt{\frac{1 + \frac{2}{\alpha}}{3}} > |y| > \sqrt{\frac{1}{3}}$$

Por lo que por el Teorema de Punto Fijo de Banach:

$$\lim_{t} g_{y}^{t}(y_{0}) = \begin{cases} 1 & \text{Si } \sqrt{\frac{1 + \frac{2}{\alpha}}{3}} > y_{0} > \sqrt{\frac{1}{3}} \\ -1 & \text{Si } \sqrt{\frac{1 + \frac{2}{\alpha}}{3}} < -y_{0} < \sqrt{\frac{1}{3}} \end{cases}$$

Si analizamos simplemente los signos de g y $\frac{dg_y}{dy}$ en los otros intervalos podemos conluir que:

$$\lim_{t} g_{y}^{t}(y_{0}) = \begin{cases} -\infty & \text{Si } y_{0} > \sqrt{\frac{1 + \frac{2}{\alpha}}{3}} \\ 1 & \text{Si } \sqrt{\frac{1 + \frac{2}{\alpha}}{3}} > y_{0} > 0 \\ -1 & \text{Si } -\sqrt{\frac{1 + \frac{2}{\alpha}}{3}} < y_{0} < 0 \\ \infty & \text{Si } y_{0} < -\sqrt{\frac{1 + \frac{2}{\alpha}}{3}} \end{cases}$$

Dedujimos entonces que $(x,y) \in E_s \iff (x,y) = (t,0) \ t \in \mathbb{R} \iff (x,y) \in W_s$.

Part II El teorema y aplicaciones

APLICACIÓNES

[Esto va a ir en Resultado principal]

gradient descent

Part III Apéndice



APÉNDICE

COLOPHON

This document was typeset using the typographical look-and-feel classicthesis developed by André Miede and Ivo Pletikosić. The style was inspired by Robert Bringhurst's seminal book on typography "The Elements of Typographic Style". classicthesis is available for both LATEX and LYX:

https://bitbucket.org/amiede/classicthesis/

Happy users of classicthesis usually send a real postcard to the author, a collection of postcards received so far is featured here:

http://postcards.miede.de/

Thank you very much for your feedback and contribution.

Final Version as of April 22, 2018 (classicthesis version 0.1).